

1968 - 70

N¹⁴O¹⁶

89-XII-3

1968

9 Б66. Спин-орбитальное взаимодействие в молекулярных ридберговых состояниях молекулы окиси азота.

Ackermann F., Miescher E. Spin-orbit coupling in molecular rydberg states of the nitric oxide molecule. «Chem. Phys. Letters», 1968, 2, № 6, 351—352 (англ.)

Из лит. данных по электронно-колебательно-вращательному спектру поглощения молекулы N¹⁴O¹⁶ с учетом независящего от вращательного квантового числа конфигурационного взаимодействия с уровнем $B^2\Pi$ ($V=7$) вычислена постоянная спин-орбитального взаимодействия уровня $C^2\Pi(V=0) A_0 = 2,5 \pm 0,6 \text{ см}^{-1}$. Это значение $A_0 N^{14}O^{16}$ согласуется с известным в литературе значением $A_0 = 3,2 \pm 0,1 \text{ см}^{-1}$ $C^2\Pi(V=0)$ изотопа N¹⁵O¹⁸, уровня $C^2\Pi(V=0)$ и $B^2\Pi(V=7)$ которого не взаимодействуют.

М. Р. Алиев

X. 1969. 9

WD.

1988

401303f Calculation of the magnetic rotation spectrum of nitric oxide in the near infrared. Buckingham, A. D.; Segal, G. A. (Univ. Bristol, Bristol, Engl.). *J. Chem. Phys.* 1968, 49 (4), 1964-6 (Eng). The magnetic rotation spectrum for the 3-0 vibration band of NO has been calcd. and is compared to the spectra observed by Mann and Hause (1960). With one exception, agreement with expt. is satisfactory.

RCJQ

C.A. 1988-69-24

I968

NO.

Campbell I.M., Thrush B.A.

J.Quant.Spect.Rad.Trans., 8,

1571

Collisional quenching of the
 $B^2\pi$ state of NO.

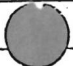
1968

NO.

Carrington Flan

Mol. Spectrosc., Proc.

Conf, 4th 1968, 157'

(Cell. OH) \bar{m} 

mol.

unpublished

1969

10.

4 Д372. Определение электронных состояний и колебательных уровней молекулярных ионов с помощью фотоэлектронной спектроскопии. Collin Jacques E., Natalis Paul. Détermination des états électroniques et des niveaux de vibration des ions moléculaires par spectroscopie de photoélectrons. «Bull. cl. sci. Acad. roy. Belg.», 1969, 55, № 4, 352—371 (франц.)

Получен спектр энергий фотоэлектронов, вызываемых при фотоионизации молекул NO, N₂O, CO₂, COS, CS₂ монохроматич. излучением. Ионизация вызывалась резонансными линиями He (584Å), Ne (736—744Å), Ar (1048—1067Å). Определены энергии ряда электронных

о. 19

10.

49

состояний и колебательных уровней ионов NO^+ , N_2O^+ ,
 CO_2^+ , COS^+ , CS_2^+ . Предложена новая схема электрон-
ных уровней NO^+ . При некоторых энергиях возбуждаю-
щего света наблюдалась предионизация уровней ионов
 CO_2^+ , COS^+ , CS_2^+ . Для иона N_2O^+ обнаружена пре-
диссоциация колебательных уровней состояния ${}^2\Pi$, взаи-
модействующего с отталкивательным ${}^4\Sigma$ состоянием с
последующей диссоциацией: $\text{N}_2\text{O}^+({}^4\Sigma) = \text{NO}^+({}^1\Sigma) +$
+ $\text{N}({}^4S)$. Результаты сравниваются со спектроскопич-
ческими данными. Библ. 41.

Л. Щерба

NO

XIII - 2248

1969

35877e Determination of electronic states and of vibrational levels of molecular ions by photoelectron spectroscopy. Collin, Jacques E.; Natalis, Paul (Univ. Liege, Sart-Tilman/Liege, Belg.). *Bull. Cl. Sci., Acad. Roy. Belg.* 1969, 55(4), 352-71 (Fr). The photoionization of mols. by means of monochromatic

uv light is used to det. the electronic states and vibrational levels of NO, N₂O, CO₂, COS and CS₂. J. O. Page

8;

(monos) ~~see~~ (pol. - alk) 10 -

(+4)

C.A.

1970.72.8



NO

Commence 3657

1968

50576R Vibrational and electronic ionic states of nitric oxide.
An accurate method for measuring ionization potentials by photo-electron spectroscopy. Collin, Jacques E.; Natalis, Paul (Univ. Liege, Liege, Belg.). *Int. J. Mass Spectrom. Ion Phys.* 1968, 1(6), 483-99 (Eng). The investigation of the photoionization of NO by means of 3 resonance monochromatic light sources and the anal. of the photoelectron spectra leads to the detection of 8 different electronic ionic states. In many cases, vibrational progressions were observed and interpreted. The fine structure of the vibrational progression relative to the ground $^1\Sigma^+$ ionic state is explained as reflecting the rotational-vibrational structure of that level. A potential energy diagram is proposed on the basis of the new results. An accurate method for detg. abs. values of ionization potentials by photoelectron spectroscopy without the use of a reference gas is described. BGJN

C.A

1969. 40. 12

отмеч 3657

1968

№

1 Д336. Колебательные и электронные ионные состояния окиси азота. Точный способ измерения потенциалов ионизации методом фотоэлектронной спектроскопии. Collin Jacques E., Natalis Paul. Vibrational and electronic ionic states of nitric oxide. An accurate method for measuring ionization potentials by photoelectron spectroscopy. «Int. J. Mass Spectrom. and Ion Phys.», 1968, 1, № 6, 483—499 (англ.)

(E_i)

Описан точный способ определения абс. значений потенциалов ионизации методом фотоэлектронной спектроскопии без использования калибровочного газа. Получены подробные фотоэлектронные спектры окиси азота при возбуждении тремя резонансными монохроматич. источниками света: He 584 Å (21,21 эв), Ne 736—744 Å (16,83—16,65 эв) и Ar 1048—1067 Å (11,83—11,62 эв). Обнаружено, по крайней мере, 7 различных электронных ионных состояний молекулы. Во многих случаях выявлена и интерпретирована колебательная структура.

Ф. 1974. N 1

В частности, тонкая структура спектра, относящегося к основному Σ^+ -состоянию, объясняется как отражение колебательно-вращательной структуры этого уровня. Приведены диаграммы потенциальной энергии молекулы, построенные на основе новых данных. Библ. 39.

Л. С. В.

ой

№

1968

данные 3657

Энергия
Уровни

ЗБ145. Колебательные и электронные ионные со-
стояния окиси азота. Точный метод измерения потен-
циалов ионизации при помощи фотоэлектронной спект-

X. 1974

ан
тров

№3

роскопии. Collin Jacques E., Natalis Paul.
Vibrational and electronic ionic states of nitric oxide.
An accurate method for measuring ionization potentials
by photoelectron spectroscopy. «Int. J. Mass Spectrom.
and Ion Phys.», 1968, 1, № 6, 483—499 (англ.).

Проведено детальное исследование фотоэлектронных спектров окиси азота при возбуждении тремя различными монохроматич. резонансными источниками света: He 584 Å, Ne 736—744 Å и Ar 1048—1067 Å. Описан новый метод точного определения потенциалов ионизации с использованием внутреннего стандарта. В фотоэлектронных спектрах обнаружено 8 (возможно, 7) различных электронных ионных состояний NO с разрешенной в большинстве случаев колебательной структурой. Проведено отнесение полученных потенциалов ионизации по электронным состояниям и их колебательный анализ. Показано, что ТС основного ионного состояния $^1\Sigma^+$ соответствует его вращательно-колебательным состояниям. Приведена диаграмма энергетич.
уровней NO, полученная на основании новых результатов.

О. Г. Гаркуша

NO

Gibeler V.H.

1968

Advair. Mass Spectra.

1968, 4, 464-80

flē

P.A. 1991, 44, 14

Cur D, III

№

BOP-A1158

1968

Empedocles P.

Chu.
poem.

Theor. chim. Acta 1968,
10 (4), 331-6

XI-183

1968

NO, NS, NS' n sp (new rec.)

Garrington A.
1770L Spectrosc., Prop. Conf.,
4th 1968, 157-175



10

№

1568

10 Д508. Температурная зависимость хемилюминесцентных реакций. II. Послесвечение окиси азота. Gross Rolf W. E. Cohen Norgap. Temperature dependence of chemiluminescent reactions. II. Nitric oxide afterglow. «J. Chem. Phys.», 1968, 48, № 6, 2582—2588 (англ.)

Методом ударных трубок с тлеющим разрядом, описанным в ч. I (реф. 10Д507), изучена зависимость от температуры и плотности интенсивностей трех систем полос хемилюминесценции (ХЛ) О. ХЛ возникала при смешивании азота, прошедшего область СВЧ-разряда, со струей NO; актами возбуждения этой ХЛ являются реакции N с атомами O — продуктами реакции $N + NO \rightarrow N_2 + O$. Измерение абс. интенсивности ХЛ и (методом ХЛ-титрования) абс. конц-ии атомов O позволило получить выражения для абс. интенсивностей I ХЛ, сопоставить их с

99.1968.

108

механизмами возбуждения ХЛ и сравнить с данными других авторов. Эта информация получена впервые в широком интервале $T = 300 \div 2000^{\circ}\text{K}$ δ -полосы, переход $C^2\Pi \rightarrow X^2\Pi$, 190—242 нм, $I_{\sigma} = 10^{-17.17} (300/T)^{+0.35}$ [N][O] квант/ $\text{см}^3 \cdot \text{сек}$. π -полосы, переход $A^2\Sigma^+ \rightarrow X^2\Pi$, 215—356 нм. $I_{\nu} = 10^{-16.9} (300/T)^{+0.35}$ [N][O] + $10^{-33.8} (300/T)^{-1.24}$ [N][O][N₂], квант/ $\text{см}^3 \cdot \text{сек}$. β -Полосы, переход $\beta^2\Pi \rightarrow \chi^2\Pi$, 262—431 нм. $I_{\beta} = 10^{-33.52} (300/T)^{1.40}$ [N][O][N₂] квант/ $\text{см}^3 \cdot \text{сек}$. В работе приводятся константы скорости испускания ХЛ для всех колебательных компонент β -, γ - и δ -полос при 300°K .

К. Р. Васильев

XIII-314-89

1968

No

спектр

2 Д295. Спектр поглощения молекулы NO. VIII. Гетерогенные ($^2\Sigma - ^2\Pi$)-взаимодействия между возбужденными состояниями. Jungen Ch., Mieschel E. Absorption spectrum of the NO molecule. VIII. The heterogeneous ($^2\Sigma - ^2\Pi$)-interaction between excited states. «Canad. J. Phys.», 1968, 46, № 8, 987—1003 (англ.)

В спектрах поглощения в вакуумной УФ-области (1500—1700 Å) и в ИК-спектрах испускания молекулы NO обнаружены гетерогенные (между состояниями различной симметрии) возмущения $^2\Sigma + - ^2\Pi$, достигающие значительной величины. Рассмотрены четыре изотопные модификации изученного газа: $N^{14}O^{16}$, $N^{15}O^{16}$, $N^{14}O^{18}$ и $N^{15}O^{18}$. Приведены потенц. кривые ридберговских и неридберговских состояний. Показано, что вращательные взаимодействия между ридберговскими состояниями $^2\Sigma +$ и уровнями неридберговского состояния $B^2\Pi$ «конфигу-

09. 1969. 29

рационно запрещены», но правила запрета нарушаются вследствие конфигурационного взаимодействия ридберговских уровней с ридберговскими состояниями $^2\Pi$. Последние вместе с ридберговскими состояниями $^2\Sigma^+$ образуют p -комплексы; взаимодействие проявляется в l -расщеплении в комплексах, оно может быть теоретически оценено и полностью проанализировано. Детально изучены случаи сильных взаимодействий $D^2\Sigma^+(v=3) \sim B^2\Pi$ ($v=16$) и $D^2\Sigma^+(v=5) \sim B^2\Pi$ ($v=21$), а также более слабого $D^2\Sigma^+(v=1) \sim B^2\Pi$ ($v=11$), наблюдавшиеся как возмущения в ϵ -полосах ($D^2\Sigma^+ - X^2\Pi$), пересекающих β -полосы. Сделан вывод, что взаимные возмущения α - и β -полос, так же как и возмущения между аналогичными полосами с высшим главным квантовым числом, отсутствуют, и, т. обр., подтверждено отнесение состояний $A^2\Sigma^+$ и $E^2\Sigma^+$ к s ридберговским сериям. Библ. 21. Ч. VII
ЖЖФиз, 1967, 6Д229.

С. Ф. Б.

XIII - 317 - 89

1968

№

7 Б124. Спектр поглощения молекулы NO. VIII. Гетерогенные ($^2\Sigma$ — $^2\pi$) возмущения между возбужденными состояниями. Jungen Ch., Miescher E. Absorption spectrum of the NO molecule. VIII. The heterogeneous ($^2\Sigma$ — $^2\pi$) interactions between excited states. «Canad. J. Phys.», 1968, 46, № 8, 987—1003 (англ.)

Выполнен анализ вращательной структуры полос переходов $^2\Sigma^+ - X^2\pi$ и $^2\pi - X^2\pi$ молекулы NO и ее изотопич. разновидностей с ^{15}N и ^{18}O . Аномальная структура этих полос интерпретирована сильным гетерогенным возмущением уровней $^2\Sigma^+$ и $^2\pi$, вызванным конфигурационным взаимодействием. Построена матрица электронно-колебательно-вращательной энергии и выведены ф-лы для энергетич. уровней. Эти ф-лы применены к колебательным полосам с квантовым числом v вплоть до

X · 1969.

7

20. Показано, что возмущение полос $E(D^2\Sigma \pm X^2\pi)$ и $\beta(B^2\pi - X^2\pi)$ удовлетворительно описывается оператором B_P разрыва l -связи, причем постоянная возмущения $\eta \approx 1 \text{ см}^{-1}$ практически не зависит от v . Отсутствие аналогичного возмущения для пар уровней $E^2\Sigma^+ \sim B^2\pi$ и $A^2\Sigma^+ \sim B^2\pi$ объясняют равенством $\eta = 0$, что эквивалентно равенству $l=0$ для уровней $A^2\Sigma^+$ и $E^2\Sigma^+$. Конфигурационное возмущение отсутствует также для более высоких уровней ридберговых серий s . Особенно сильному возмущению подвержены пары электронно-колебательных уровней $D^2\Sigma^+(v=3) \sim B^2\pi(v=16)$, $D^2\Sigma^+(v=5) \sim B^2\pi(v=21)$ и $D^2\Sigma^+(v=1) \sim B^2\pi(v=11)$. Сообщ. VII, см. Miescher, E. «J. Mol. Spectry». 20 130 (1966).

М. Р. Алиев

No

Cullen

XIII - 374 - B9

1968

6720f Absorption spectrum of the nitric oxide molecule.
VIII. The heterogeneous $^2\Sigma - ^2\Pi$ interactions between excited states. Jungen, Ch.; Miescher, E. (Univ. Basel, Basel, Switz.). *Can. J. Phys.* 1968, 46(8), 987-1003 (Eng). Heterogeneous perturbations $^2\Sigma^+ \sim ^2\Pi$ of largely different magnitudes are observed with high resoln. in the vacuum-uv absorption and in the ir emission spectrum of the NO mol. The rotational interactions between $^2\Sigma^+$ Rydberg states and levels of the $B^2\Pi$ non-Rydberg state are configurationally forbidden, but produced by the configuration interaction between the non-Rydberg levels and $^2\Pi$ Rydberg states. The latter together with the $^2\Sigma^+$ Rydberg states form p complexes. In this way the interactions display the l uncoupling in the complexes; they can be evaluated theoretically

C.A. 1968 69.2

and be analyzed fully. The cases of the strong interactions $D^2\Sigma^+(v = 3) \sim B^2\Pi(v = 16)$ and $D^2\Sigma(v = 5) \sim B^2\Pi(v = 21)$ and of the weaker $D^2\Sigma^+(v = 1) \sim B^2\Pi(v = 11)$, all 3 observed as perturbations in ϵ bands crossing β bands, are discussed in detail. Perturbations between γ bands and β bands as well as perturbations between analogous bands of higher principal quantum no. are absent, and the assignment of the $A^2\Sigma^+$ and $E^2\Sigma^+$ states to the s Rydberg series is confirmed.

RCCN

N¹⁴O 16

стм: 364/8

1968

12 Д323. Исследование спектра высокого разрешения оксида азота у 5,4 мк. Keck D. B., Hause C. D.
High resolution study of nitric oxide near 5.4 microns.
«J. Molec. Spectrosc.», 1968, 26, № 2, 163—174 (англ.)

Выполнен анализ вращательной структуры основных колебательных полос молекул $\text{N}^{15}\text{O}^{16}$ (I) и $\text{N}^{14}\text{O}^{16}$ (II), полученных с точностью $0,003 \div 0,004 \text{ см}^{-1}$ на спектрометре с разрешением $0,07 \text{ см}^{-1}$ у 2000 см^{-1} . Каждая полоса состоит из двух подполос (переходы ${}^2\Pi_{1,1/2} - {}^2\Pi_{1/2}$ и ${}^2\Pi_{3/2} - {}^2\Pi_{3/2}$) и двух слабых сателлитов (переходы $(1-0){}^2\Pi_{1/2} - {}^2\Pi_{3/2}$ и $(1-0){}^2\Pi_{3/2} - {}^2\Pi_{1/2}$). Применением метода наименьших квадратов к частотам вращательных линий и их комбинационным разностям для уровней

09. 1968. 128

v_l ($i=0, 1$) определены два набора наиболее вероятных значений вращательных постоянных ($B_l, B_e, D_l, D_e, \alpha_e, \beta_e$), постоянных спин-орбитального взаимодействия (A_l, A_e, χ_e) и колебательной константы $\Delta G(1)$. Получены следующие равновесные значения постоянных (в см^{-1}): $B_e(\text{I}) = 1,64449 \pm 0,00008$, $D_e(\text{I}) = (5,1 \pm 0,1) \cdot 10^{-6}$, $B_e(\text{II}) = 1,70487 \pm 0,00006$, $D_e(\text{II}) = (5,5 \pm 0,1) \cdot 10^{-6}$. Из независимости значений A_l от изотопного замещения ($A_e(\text{I}) = 123,327 \pm 0,008 \text{ см}^{-1}$, $A_e(\text{II}) = 123,337 \pm 0,011 \text{ см}^{-1}$) сделан вывод об идентичности (в пределах, соответствующих точности эксперим. данных) электронных структур молекул I и II.

Б. И. Байков

SO

011111. 3648

1988

Clip.

14302m. High resolution study of nitric oxide near 5.4μ .
Keck, D. B.; Hause, C. D. (Michigan State Univ., East Lansing, Mich.). *J. Mol. Spectrosc.* 1968, 26(2), 163-74 (Eng). High resln. spectra of the $^2\Pi_{1/2}-^2\Pi_{1/2}$ and $^2\Pi_{3/2}-^2\Pi_{3/2}$ subbands of the fundamental and the (1-0) $^2\Pi_{1/2}-^2\Pi_{3/2}$ and (1-0) $^2\Pi_{3/2}-^2\Pi_{1/2}$ satellite bands for both $^{15}\text{N}^{16}\text{O}$ and $^{14}\text{N}^{16}\text{O}$ were obtained and analyzed. The analysis leads to the following rotational consts: For $^{15}\text{N}^{16}\text{O}$, $B_e = 1.64449 \pm 0.00008 \text{ cm.}^{-1}$, $D_e (5.1 \pm 0.1) \times 10^{-6} \text{ cm.}^{-1}$. For $^{14}\text{N}^{16}\text{O}$, $B_e = 1.70487 \pm 0.00006 \text{ cm.}^{-1}$, $D_e = (5.5 \pm 0.1) \times 10^{-6} \text{ cm.}^{-1}$. The satellite data provides a method for directly detg. the spin-orbit coupling consts. A_0 and A_1 . The A_0 and A_1 are independent of isotopic substitution within the limits of accuracy of the data, indicating identical electronic structure for the 2 mols. considered. Values for these and other mol. parameters which could be detd. are quoted.

RCKD

C.A. 1988. 69.4

NO

A. B. Keck

1968

C. R. Haas-e

21. n.

J. Chem. Phys'
J. 1968, 49, 3458.

(KCN, X²⁷) 3/3

Xylophag

Spur, n.

Lefebvre - Brion H., Guerin F., 1968

Pascale

J. Chem. Phys., 1968, 49, 1446

54

NO₂(g) - v.v.n.

NO

1968

Murphy & S.,
Boggs & S.

J. Chem. Phys., 49(8), 3333

Квазипараллельный

(Cav. OCS) III

NO

Rothe & S.

1968

McCaa & J.

checkup

U.S. At. Energy Comm.,
CAL-TR-165, 70 pp.)

(see. N_2) III

I968

NO

Pears J.B.

J.Quant.Spect.Rad.Trans., 9,

I593

Nitric oxide gamma band emission
rate factor.

γ (H_2 , HCl , H_2O , NH_3 , CH_3 , N_2 , NO_2)

Price W.C.

XI 424-1968

Molec. Spectrosc. Proc. Conf.
Brighton., 1968, London,
1968, 221-33, Discuss, 237-38

px 1970

(op)

20

ECT 4.5.68

1968

NO

Price W.C.

Molec. Spectrosc.

Proc., Conf., Brighton,
1968. London, 1968,
221

[Cet H₂] III

B9-XIII-911

1968

NO

81935d Higher ionization potentials of nitric oxide. Samson, James A. R. (GCA Corp., Bedford, Mass.). *Phys. Lett. A* 1968, 28(5), 391-2 (Eng). Higher ionization potentials of NO are reported, using the technique of photoelectron spectroscopy. Previously unreported ionization potentials of 21.72 and 23.1 ev. were observed. A spherical grid retarding-potential-type analyzer was used, as described previously (J. A. R. Samson and Cairns, 1968). The energy resoln. is $E/\Delta E \approx 100$, where ΔE is the energy sepn. of 2 states which can just be resolved. The retarding-potential curve of NO is shown. The ionizing radiation was an Ar IV line of wavelength 462 Å. (26.84 ev.) produced by a low-pressure condensed spark discharge in a capillary and dispersed by a McPherson 1/2-m. Seya-type monochromator. The band pass of the monochromator was 1 Å. (equiv. to 58 mv. at 462 Å.). The various steps in the curve correspond to ionization potentials of NO. Considerable unresolved vibrational

(9)

C. A. 1969.

70.18

structure occurs at 15.7–19.5 ev. The energy scale was calibrated by using the 1st ionization potential of NO as 9.266 ev. as detd. spectroscopically by K. Dressler and Miescher (*CA* 63: 6483h), and also by mixing some He into the NO gas. The He gave a step at 24.58 ev. corresponding to its ionization potential. States corresponding to the Y. Tanaka (1942) β - and γ -series limits are observed at the appropriate energies. No state is observed at the α -series limit (14.15 ev.). However, a level is observed at 15.67 ev. This level has also been seen by others using photoelectron spectroscopy with the 584-A. line (21.22 ev.). It has been suggested that the transition probability for ionizing a state at the α -series limit could be exceedingly small at 584 A. and hence not observed (K. P. Huber, 1968). However, in the present work a search for a step in the retarding-potential curve at the α -series limit was made at a variety of wavelengths <834 A. (14.87 ev.), but none was found. It would appear, therefore, that the interpretation of the α -series as Rydberg terms leading to an excited state NO^+ is incorrect. A higher ionization potential is observed at 21.72 ev. and a weaker one at 23.1 ev. No other excited states were observed up to the limit of the present observations, 30 ev.

Raylene Adams Coad

89 - XII - 97

1968

№

8 Д227. Высшие ионизационные потенциалы окиси азота. Samson J. A. R. Higher ionization potentials of nitric oxide. «Phys. Letters», 1968, A 28, № 5, 391—392 (англ.)

Изучены фотоэлектронные спектры (9—27 эв) молекулы NO, возбужденные излучением $\lambda=462$ Å (линия Ag IV). Наряду с известными ранее значениями ионизационных потенциалов NO обнаружены два новых потенциала: 21,72 эв и более слабый 23,1 эв. Ставится под сомнение интерпретация α -серий в спектре окиси углерода как ридберговских термов, дающих возбужденное состояние NO^+ . Библ. 10.

С. Ф. Б.

дф. 1969. 89

№

BD-XII-911

1968

13 Б109. Высшие потенциалы ионизации окиси азота, S. a. m. s. o. n. J. A. R. Higher ionization potentials of nitric oxide. «Phys. Letters», 1968, A 28, № 5, 391—392
(англ.)

Методом фотоэлектронной спектроскопии изучен энергетич. спектр ионизации молекулы NO фотонами с энергией 26,84 эв (линия Ar IV при 462 А). Обнаружены ранее неизвестные потенциалы ионизации 21,72 и 23,1 эв.

Б. В. Рассадин

(2).

X·1969·13

NO

1968

Setser D. W.

Stedman D. H.

зекрп.

секрп

J. Chem. Phys., 49(1),
467.

(all. CO_2) III

1968

NO

A⁻

Williams, Y.M., et al.

Y. Cleeves. Prog., 1968,

49, ~ 10, 4467.

(Cell. CH_3^+) I

1968

NO

Young R. F.

Black G., Slanger T. G.

спектр

J. Chem. Phys., 48, n⁵,
2067 - 2070.

Удвоение в области
 4000 - 8000 Å при ба-
 ки и ее massa N_2O , NO , NO_2 , CO ,
 CO_2 и O_2 (см. C^2O) III

1968

100402e Experiments on $N_2(A^3\Sigma_u^+)$. II. Excitation of NO.
Robert A. Young and Gilbert A. St. John (Stanford Res. Inst.,

Menlo Park Calif.). *J. Chem. Phys.* 48(2), 898-900(1968)
(Eng). The rate coeff. for the process $N_2(A^3\Sigma_u^+ v' = 0, 1) + NO(X^2\Pi) \rightarrow N_2(X^1\Sigma) + NO(A^2\Sigma^+ v' = 0)$ is measured to be $3 \times 10^{-11} \text{ cm.}^3/\text{sec}$. Essentially half of all de-exciting collisions of $N_2(A^3\Sigma_u^+)$ with NO result in excitation of NO. The rate coeff. of $N_2(A^3\Sigma_u^+ v' = 1) + NO(X^2\Pi) \rightarrow N_2(X^1\Sigma) + NO(A^2\Sigma^+ v' = 3)$ is measured as $1.3 \times 10^{-12} \text{ cm.}^3/\text{sec}$.

RCJQ

C.A. 1968-68-22

№

Bр - 4 - XIII

1969

ЗД317. Изучение $C^2\Pi - X^2\Pi$ -полос испускания молекулы NO с высоким разрешением. Ackegmann E. Miescher E. High resolution study of the $C^2\Pi - X^2\Pi$ -emission bands of the NO molecule. «J. Molec. Spectrosc.», 1969, 31, № 3, 400—405 (англ.)

Исследованы с высоким разрешением σ -полосы ($C^2\Pi - X^2\Pi$) молекулы NO, излучаемые голубым послесвечением в смеси $N_2 + O_2$. Нормальное А-удвоение вращательных линий и отсутствие обрыва ветвей свидетельствуют о том, что предиссоциации на $C^2\Pi(v=0)$ -уровне не происходит. Приведен ход потенц. кривых в области взаимодействия $C^2\Pi(v=0)$ - и $B^2\Pi(v=7)$ -уровней NO. Кратко сообщается о зарегистрированной с недостаточным разрешением $C^2\Pi - A^2\Sigma^+$ -полосе (12237 Å), излучаемой разрядом в NO. Библ. 7.

И. Дворников

09. 1970. 38

№

Академик М. В. и. гр.

1969

Лицей борок. эксп-
ресс, 3 (6); 483.
Фотоаппарату.

(авт. №) III

1969

NO

62605e Vibrational relaxation of nitric oxide. Bradley,
John N.; Lewis, David (Univ. Essex, Colchester, Engl.). *J.
Chem. Phys.* 1969, 50(1), 544-5 (Eng). Vibrational relaxation
of NO at 1500°K. was measured by using a method similar to
that of F. Robben (1959) with an improved lamp (a signal-to-
noise ratio better than 50:1 at 2360 A.). Results clearly agree
with those reported by K. L. Wray (1962) rather than with those
reported by Robben (which are 3 times larger than the former).

FBJN

Microfilm

C.A. 1969-70 • 14

NO

1969

Leo Brewer, Gerd Rosenblatt.

"Adv. in High Temp. Chem."

I969, 2, I-83.

Received 1969

Spaceman
Kees
McCourt

2/2/68

CO₂, NO, NaClO₂ (Purwakarta)
zero 13 14 1969
Cahill J.E., Desai S.E. XIII-85

J. Chem Phys. 1969, 51(4), 1324-32.

Paramagnetic properties of solvated carbon dioxide,
nitrogen oxide, nitrogen,
and carbon monoxide.

9 CA, 1969, 21, N2, 107335

Vincent Aggar (X) 13. 1869

Dodge M.C. X^{IV} 595

Dressel. J. Am. Inst. B 1869, 30(3), 1062

Matrix isolation infrared
study of vegetable nitrogen
bridged compounds. 8

10



CA, 1970, 22, 20, 05000

№

БФ - 211 - XII
969

6 Д422. Электронное комбинационное рассеяние окиси азота при высоком разрешении. Fast H., Welsh H. L., Lepard D. W. Electronic Raman effect of nitric oxide at high resolution. «Canad. J. Phys.», 1969, 47, № 24, 2879—2881 (англ.)

Сфотографирован спектр комб. рас. газообразного $\text{NO}(\text{X}^2\Pi)$ при давлении 1 атм, временах экспозиции 3,12 и 120 μ и разрешении вблизи $\lambda(\text{Hg}) = 3858 \text{ \AA} \sim 0,3 \text{ см}^{-1}$. Сопоставлением структур полученного спектра и вычисленного по молекулярным постоянным показано, что вращательные линии, проявляющиеся при экспозициях 12—120 μ , представляют собой O -, P -, Q -, R - и S -ветви электронного перехода $^2\Pi_{3/2} - ^2\Pi_{1/2}$ и являются деполяризованными.

В. И. Байков

И.И.

09. 1970. 60

No

B92 - 211-XIII

1969

37497e Electronic Raman effect of nitric oxide at high resolution. Fast, H.; Welsh, H. L.; Lepard, D. W. (Dep. Phys., Univ. Toronto, Toronto, Ont.). *Can. J. Phys.* 1969, 47(24), 2879-81 (Eng). The rotational Raman spectrum of gaseous NO was photographed with a spectral resoln. of $\sim 0.3 \text{ cm}^{-1}$. In longer exposures the rotational structure of the electronic transition, $^3\Pi_{3/2} \leftarrow ^3\Pi_{1/2}$, was also observed. It consists of O, P, Q, R, and S branches and has an intensity distribution in accordance with theory.

RCCN

baby. stuck

C.A. 1970.

72.8

NO_2 , $\text{NO}(^{\circ})$

15

XIII 214

1969

Fehsenfeld F.C.; Ferguson E.E.

Mosesman H.H.

Chem Phys. Lett. 1969, 4(2), 43-4.

assessment of the thermal
energy reaction $\text{NO}_2 + \text{NO} \rightarrow$
 $\text{NO}_2^+ + \text{NO}_2$

N 60

6

CA, 1970, 72, NY, 168600

NO

4 Д370. Спектр поглощения молекулы NO. IX.
Структура f-комплексов, потенциал ионизации NO и
квадрупольный момент NO^+ . Jungen Ch., Mie-
scher E. Absorption spectrum of the NO molecule. IX.

1969

The structure of the f complexes, the ionization potential of NO, and the quadrupole moment of NO^+ . «Canad. J. Phys.», 1969, 47, № 17, 1769—1787 (англ.)

Исследованы с высоким разрешением две 0—0 поло-
сы поглощения холодной газообразной окиси азота у
1474 и 1422 Å, являющиеся первыми членами ридберго-
вых серий $nf - X^2\Pi$. Полосы имеют аномальную вра-
щательную структуру, анализ которой проведен с по-
мощью вычислительной программы. Показано, что рид-
берговый f-электрон, находящийся на непроникающей
орбитали, имеет атомные свойства, т. е. определенный

М. И.

У

ВР-ХIII-318

09.1970.

48

момент l и квантовый дефект, как у щелочного атома. Одновременно у него проявляются и молекулярные свойства, вызванные его взаимодействием с полем колеблющегося и вращающегося молекулярного остатка. Теоретически разобран наблюдющийся здесь случай изолированного непроникающего f -комплекса и его связь с вращающимся остатком молекулы. Из анализа получено точное значение потенциала ионизации NO : $T_{\infty} = 9,2639 \pm 0,0006$ эв и квадрупольный момент молекулярного иона NO^+ : $Q_{zz} = + (0,79 \pm 0,06) 10^{-26}$ эл. ст. ед. $\cdot \text{см}^2$. Обсуждаются атомные и молекулярные свойства сильно возбужденного ридбергова электрона. Библ. 30. Ч. VIII см. РЖФиз, 1969, 2Д295.

А. Яковлева

NO

N

measured

u. n.

C.A. 1969.

Storage 4736

1969

(65668j) Absorption spectrum of the NO molecule. IX. The structure of the f complexes, the ionization potential of NO, and the quadrupole moment of NO^+ . Jungen, Ch.; Meischer, E. (Div. Pure Phys., Nat. Res. Counc. Can., Ottawa, Can.). Can. J. Phys. 1969, 47(17), 1769-87 (Eng). The 0-0 bands at 1474 and 1422 Å. of the 1st 2 members of the $nf-X^2\Pi$ Rydberg series of NO have been observed under high resoln. in the absorption spectrum of cold NO gas. They show an abnormal rotational structure which has been analyzed with the help of a computer program. The uncoupling of the angular momentum $l = 3$ of

B9-XII-318

71.14

the f electron in the rotating mol. is discussed theoretically, including the effect of electron spin and interaction with the mol. core. The relation between the electronic energies T_A of the f complex in the nonrotating mol. and the electronic energies $T_{|L|}$ in the rapidly rotating mol. is given. From the anal. a precise value of the ionization potential of NO is obtained, viz. $T_\infty = 9.2639 \pm 0.0006$ ev., and the quadrupole moment of the mol. ion NO^+ is detd. to be $Q_{zz} = + (0.79 \pm 0.06) \times 10^{-26}$ esu. cm.² The at. and the mol. properties of a highly excited mol. Rydberg electron are discussed.

RCCN

No

Без

Х

X · 1969

22 Б53. Теоретическое изучение однородных возмущений. II. Определение «невозмущенных» пересекающихся кривых Морза методом наименьших квадратов. Применение к ~~ув~~ ¹⁹⁶⁹ ущенному состоянию $^1\Sigma_u^+$ N_2 . Lefebvre - Brion H. Theoretical study of homogeneous perturbations. II. Least-squares fitting method to obtain «deperturbed» crossing Morse curves. Application to the perturbed $^1\Sigma_u^+$ states of N_2 . «Canad. J. Phys.», 1969, 47, № 5, 541—545 (англ.)

Предложен метод анализа колебательно-вращательной структуры возмущенных электронных состояний двухатомных молекул. Метод основан на предположении о применимости функции Морза для описания невозмущенных потенциальных кривых и прямой диагонализации матрицы энергии для взаимодействующих электронных уровней. В случае пары взаимодействующих электронных уровней матрица энергии содержит 6 парамет-

+2



ров (T_e , ω_e , $\omega_e x_e$ для каждого уровня) в диагональных элементах и 1 параметр взаимодействия $H_e S_{ij}$ (S_{ij} — интеграл перекрывания колебательных волн. функций) вне диагонали. Параметры определяются методом наименьших квадратов при наилучшем согласии вычислительных и экспериментальных значений энергий уровней. Метод иллюстрирован на примерах состояний $^2\Delta \text{NO}$ и $^1\Sigma_u^+ \text{N}_2$. Результаты расчета показывают, что в первом случае имеет место возмущение валентного состояния $B'^2\Delta$ ридберговыми состояниями $F^2\Delta$ и $N^2\Delta$, а во втором случае валентное состояние $b'^1\Sigma_u^+$ возмущено ридберговым состоянием $C'^1\Sigma_u^+$. Среднее отклонение между вычисленными и опытными значениями энергий уровней составляет $\leq 10 \text{ см}^{-1}$ для $^2\Delta$ и $\leq 20 \text{ см}^{-1}$ для $^1\Sigma_u^+$. Для параметра взаимодействия H_e пар уровней ($B'^2\Delta$, $F^2\Delta$), ($B'^2\Delta$, $N^2\Delta$) и ($b'^1\Sigma_u^+$, $c'^1\Sigma_u^+$) получены значения 450, 400 и 890 см^{-1} соответственно. Сообщ. I см. Can. J. Phys., 44, 1677 (1966).

М. Р. Алиев

1969

NO

Lefebvre B.H.,
Bessis N.

i.n.

Canad. J. Phys.,

paper

1969, 44, n25, 2724

A

environ

20



(Cu.CH) III

NO

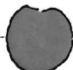
1969

lojko M.S.,
Beers L.

sp. noem.

N. Res. Nat. Bur. Stand.,

143, N2, 233.



(Cet. H₂O) $\bar{\equiv}$

XII - 413

1969

NO

96512h Analysis of the spectrum of the nitric oxide molecule.
Miescher, Ernst (Univ. Basel, Basel, Switz.). U.S. Clearing-
house Fed. Sci. Tech. Inform., AD 1969, AD-689398, 10 pp.
(Eng). Avail. CFSTI. From U.S. Govt. Res. Develop. Rep.
1969, 69(16), 70. The vacuum-uv absorption spectrum of NO
gas (4 different isotopes) has been recorded with the most
powerful existing spectrographs. The ir and the visible emission
spectrum emanating from a discharge through rapidly streaming
NO also has been recorded with very large instruments. In the
vacuum uv it was photographed with a 1-m. grating. Com-
prehensive rotational analyses of the many band structures ob-
served on the plates have been carried out. The result of the
investigation is the knowledge of the excited states of the NO
mol. exceeding the present knowledge for any other mol. as far as
completeness and theoretical understanding is concerned. Sev-
eral novel features in band structures could be studied, particu-
larly electronic interactions and extreme *l* uncoupling. Im-
portant mol. consts. could be derived with high accuracy.

TCVL

C.A.

1969. 41. 20

1969

NO

Newton A. S.,
Sciamaña A.F.

масс-спектр;
нотен. набл.;
кукк. зерни

J. Chem. Phys.,
1969, 50, n 11, 4868

NO

$\mu, \mu:$

Raman

script

(7710b) Rotational Raman spectrum of nitric oxide. Renschler, Daryl L.; Hunt, James L.; McCubbin, T. K., Jr.; Polo, S. R. (Pennsylvania State Univ., University Park, Pa.). J. Mol. Spectrosc. 1969, 32(2), 347-50 (Eng). The He-Ne laser-excited Raman spectrum of NO (gaseous, 1 atm) was recorded. Both *R*- and *S*-branches were obsd. for the $^2\Pi_{1/2}$ ground state and the low lying (125 cm^{-1}) $^2\Pi_{3/2}$ state. Pure rotational lines were sharp and prominent near 120 cm^{-1} . The electronic transition showed up merely as a small rise in the base line beginning near the *S*(33/2) line of the $^2\Pi_{1/2}$ spectrum. The ground electronic state of NO is characterized as a $^2\Pi$ state split by spin-orbit interaction into 2 components corresponding to the values of $|\Omega| = 1/2, 3/2$. The lowest rotational level of the $^2\Pi_{3/2}$ component is $\sim 125\text{ cm}^{-1}$ above the $^2\Pi_{1/2}$ component. The effective *B* value for the $^2\Pi_{3/2}$ component is 1.72 cm^{-1} ; for the $^2\Pi_{1/2}$ component, 1.67 cm^{-1} . The ir and Raman spectra of NO consist of pairs of lines of which the higher frequency one corresponds to transitions between the $^2\Pi_{3/2}$ component state. The most intense lines of the rotational spectrum are those of $\Delta J = 2$ (*S*-branch); strength of these lines increases approx. linearly with *J*. Strengths of the *R*-branch lines decrease approx. as $1/J$.

FBJN

C.A 1970. 72 : 8

1969

No

7 Д361. Вращательные спектры комбинационного рассеяния окиси азота. Renschler Daryl L., Hunt James L., McCubbin I. K., Jr Polo S. R. Rotation-

1969

nal Raman spectrum of nitric oxide. «J. Molec. Spectrosc.», 1969, 32, № 2, 347—350 (англ.)

Получены вращательные спектры комбинационного рассеяния (разрешение $0,5 \text{ см}^{-1}$) окиси азота. С учетом спин-орбитального расщепления ($\sim 120 \text{ см}^{-1}$) основного состояния проведено отнесение полос. Исследовано взаимодействие суммарного электронного момента с вращательным угловым моментом. Методом Плачека — Теллера рассчитаны интенсивности вращательных линий, хорошо коррелирующие с эксперим. данными. Библ. 5.

Л. В. Коновалов

М. И.

9.19

10.70

XIII - 1184

1969

№

13 Б365. Вращательный спектр комбинационного рас-
сения окиси азота. Renschler Daryl L., Hunt Ja-
mes L., McCubbin I. K., Jr., Polo S. R. Rotational
Raman spectrum of nitric oxide. «J. Molec. Spectrosc.»,
1969, 32, № 2, 347—350 (англ.)

Получен вращательный спектр КР молекулы NO при давл. 1 атм с использованием лазера He—Ne для возбуждения спектра (кувета помещается внутри резонатора). Анализ спектра выполнен с учетом спин-орбитального взаимодействия (основное электронное состояние NO^2P расщеплено на подуровни ${}^2\text{P}_{1/2}$ и ${}^2\text{P}_{3/2}$ с интервалом между ними 125 см^{-1}) и взаимодействия спинового и орбитального моментов с вращательным моментом. Для случая Гунда (*a*) получены ф-лы для сил линий. Вычисленные по этим ф-лам относит. интенсивности согласуются с опытными.

М. Р. Алиев.

И. ИССТ.

Х. 1940.

13

NO

1969
3 Д315. Спектр магнитного вращения перехода $A^2\Sigma^+ \leftarrow X^2\Pi$, в NO. Ч. II. Robinson Dean W. Magnetic rotation spectrum of the $A^2\Sigma^+ \leftarrow X^2\Pi$, transition in NO. II. «J. Chem. Phys.», 1969, 50, № 11, 5018—5026 (англ.)

Получен спектр магн. вращения в области $44\ 000\text{ см}^{-1}$ 0,0 « γ -полосы» NO с разрешением $0,07\text{ см}^{-1}$. В спектре отчетливо проявляются форма линий и их относит. интенсивности. Спектр исследуемой полосы получен, кроме того, расчетным путем с использованием классич. ф-л для дисперсии показателя преломления и коэф. поглощения для каждой зеемановской компоненты. При расчетах только $^2\Sigma$ -состояние предполагалось возмущенным в магн. поле. Синтезированный спектр полностью соответствует полученному экспериментально. Библ. 20. Ч. I см. РЖФиз, 1968, 1Д173.

Резюме

*спектр
магнитн.
вращения*

09. 1970.

375

N_O
2

Stamatarovic A.,
Schulz G. J.)

1969

Phys. Rev., 188 (1), 213.

Воздушение кислородом
вокруг ионгена в CO₂
и N_O.
2

(см. CO₂) III

№

XI-499

1969

~~Fe-~~

~~N₂~~

+ O₂

9 Д147. Столкновения моноэнергетических электронов с NO₂. Возможные нижние пределы электронного сродства O₂ и NO. Stockdale J. A. D., Compton R. N., Hurst G. S., Reinhardt P. W. Collisions of monoenergetic electrons with NO₂: possible lower limits to electron affinities of O₂ and NO. «J. Chem. Phys.», 1969, 50, № 5, 2176—2180 (англ.)

С помощью времязадерживающего масс-спектрометра и методом модулированной задерживающей разности потенциалов измерены потенциалы появления ионов NO⁻ и O₂⁻. Электроны, пульсирующие с частотой 15 кГц и пропускаемые через интервалы ~5 мсек. проходили через разреженный NO₂ (давление порядка 10⁻⁴ мм рт. ст.). В результате процесса диссоциативного захвата в NO₂

9 · 1969 · 99

возникали ионы O^- , NO^- и O_2^- , которые модулировались с той же частотой. Энергия электронов изменялась в пределах 0—6 эв; разрешение по энергии $\sim 0,1$ эв. Калибровка шкалы энергии электронов производилась по известным данным о потенциалах появления ионов Cl^- из HCl и ионов O^- из NO_2 и CO . Исходя из измеренных оптич. путем величин энергии диссоциации $D(N-O_2) = 4,5056$ эв и $D(NO-O) = 3,115$ эв и определенных в настоящей работе потенциалов появления ионов NO^- и O_2^- получены нижние пределы электронного сродства $\geq 0,65$ эв для NO и $\geq 1,1$ эв для O_2 . Значения величин электронного сродства обсуждаются в связи с предшествующими исследованиями процессов захвата электронов молекулами NO и O_2 . В приложении дается обоснование выбранной величине потенциала появления иона Cl^- из HCl .

И. П. Флакс

№

1969

УЗ Б158. Плотность заселенности колебательных уровней состояния $A^2\Sigma$ молекулы NO, возбужденной высокочастотным электромагнитным полем. Stringat René, Derrien Jacques, Savorgnân Jean. Densités de population dans les niveaux de vibration de l'état $A^2\Sigma$ de la molécule NO excitée par un champ électromagnétique de haute fréquence. «C. r. Acad. sci.», 1969, 268, № 12, B857—B859 (франц.)

X. 1970. 3

№

10 Д236. Населенность колебательных уровней состояния $A^2\Sigma$ молекулы NO, возбужденной высокочастотным электромагнитным полем. Stringat René, Derrien Jacques, Savorgnин Jean. Densités de population dans les niveaux de vibration de l'état $A^2\Sigma$ de la molécule NO excitée par un champ électromagnétique de haute fréquence. «С. г. Acad. sci.», 1969, 268, № 12, B857—B859 (франц.)

Измерены интегр. интенсивности полос 0—1, 0—2, 1—4, 1—5, 2—3, 3—4 системы γ молекулы NO в излучении. В предположении независимости электронного момента перехода от среднего межъядерного расстояния вычислены заселенности уровней $v=0, 1, 2, 3$ возбужденного состояния $A^2\Sigma$. При вычислении использовались 3 набора значений факторов Франка — Кондона для системы γ , опубликованных в литературе. Сделан вывод, что распределение молекул по колебательным уровням возбужденного состояния, соответствующее т-ре 4500° К является больцмановским. Библ. 10.

Л. Щерба

оф. 1969. 108

1969

№1838|||||B97

23 Б157. Спектр поглощения в вакуумном ультрафиолете и спектр излучения в видимой области молекулы NO. 4d-комплекс. Suter R. Absorption spectrum in the vacuum ultraviolet and visible emission spectrum of the NO molecule. The 4d complex. «Canad. J. Phys.», 1969, 47, № 8, 881—891 (англ.)

Для установления структуры (группы) 4d ридберговых состояний молекулы NO (I) проведен вращательный анализ следующих полос I: слабая полоса $4d - X^2\Pi$ при 1470 Å в спектре поглощения, группа $4d - 3p$ ридберговых полос, наблюдавшихся при 6400 Å ($4d - C^2\Pi$) при 6800 Å ($4d - D^2\Sigma^+$) в возбуждавшемся в разряде спектре испускания. Отмечены аналогии 4d и 3d состояний I (снятие l -взаимодействия ридбергового электрона I для этих состояний). Приведены значения вращат. постоянных B_0 , уровней термов T_0 и констант спин-орбитального взаимодействия.

Из резюме

и.и.

X. 1969. 23

NO

89-XII-1838

1969

91988n Absorption spectrum in the vacuum ultraviolet and visible emission spectrum of the nitric oxide molecule: 4d complex. Suter, R. (Univ. Basel, Basel, Switz.). *Can. J. Phys.* 1969, 47(8), 881-91 (Eng). The structure of the 4d Rydberg term complex of the NO mol. has been studied by rotational analyses of the following bands photographed with spectrographs of high resolving power: (i) the weak band $4d-X^2\Pi$ observed at 1470 Å in the absorption spectrum, (ii) the group $4d-3p$ of Rydberg-Rydberg bands observed as $4d-C^2\Pi$ (6400 Å.) and $4d-D^2\Sigma^+$ (6800 Å.) bands in the emission spectrum of a discharge. A type of l uncoupling of the Rydberg electron of the mol. is found very similar to the case already known for the 3d complex of NO. Consts. characterizing the d complexes are calcd., and a comparison of the 3d and 4d complex is made.

RCCN

C.A. 1969. 70-20

№

1969

10 Д235. Спектры поглощения в вакуумной УФ-области и излучение в видимой области молекулы NO
 Комплекс $4d$. Suter R. Absorption spectrum in the vacuum ultraviolet and visible emission spectrum of the NO molecule. The $4d$ complex. «Canad. J. Phys.», 1969, 47, № 8, 881—891 (англ.)

Изучена структура ридберговского $4d$ комплекса термов молекулы NO путем анализа вращательных линий полосы поглощения $4d - X^2\Pi$ (1470 \AA) и полос излучения $4d - C^2\Pi$ (6400 \AA) и $4d - D^2\Sigma^+$ (6800 \AA), возбуждаемых в разряде. Приведены фотографии спектров, полученных на приборах с высоким разрешением. В $4d$ ридберговском комплексе наблюдается взаимодействие $^2\Sigma^+$ и $^2\Pi$ компонент, подобное уже известному взаимодействию в $3d$ комплексе NO. Вычислены константы, характеризующие d комплексы. Сравнены комплексы $3d$ и $4d$. Библ. 15.

И. Дворников

ф. 1969

10

10 Д264. Полосы первого обертона NO (в газовой, жидкой и твердой фазах). Thiégy Marie-Madeleine, Hai Vu. Bandes du premier harmonique de vibration-rotation de NO dans les phases gazeuse, liquide et solide. «C. r. Acad. sci.», 1969, 268, № 19, B1241—B1244 (франц.).

1969

Приведены ИК-спектры NO и ее растворов в азоте и аргоне в газовой, жидкой и твердой фазе в области 3400—3800 см^{-1} , соответствующей первому обертону этой молекулы. Твердые растворы получены с помощью техники высоких давлений. Интервал использованных т-р 77—300° К. Полоса 3710 см^{-1} в спектре жидкости NO отнесена к первому обертону неассоциированных молекул, полоса 3480 см^{-1} связана с примесями N_2O . Основываясь на температурной зависимости интенсивности полос 3520 и 3605 см^{-1} , авторы относят их к колебаниям ассоциированных молекул. Спектры растворов имеют аналогичное строение. На основании полученных данных авторы считают, что одновременные переходы в спектре не проявляются.

М. В. Тонков

9.1969.

109

XIII-1288-89

1969

NO

34751b First harmonic vibrational-rotational bands of nitric oxide in gaseous, liquid, and solid phases. Thiery, Marie M.; Vu Hai (Lab. Hautes Pressions, C.N.R.S., Bellevue, Fr.). *C. R. Acad. Sci., Paris, Ser. A B* 1969, 268(19), 1241-4 (Fr). The 1st and 2nd harmonics of gaseous, liq., and solid NO, pure and in Ar and N solns., were studied at 77-300°K. and up to 1.7 kilobars. The spectra of liq. NO at 30 bars and 120°K. and solid NO at 40 bars and 90°K. are quite different from the gaseous NO fundamental spectrum; bands appeared at 3480, 3520, 3605, and 3710 cm.⁻¹ for liq. NO and 3500, 3600, and 3710 cm.⁻¹ for solid NO. The 3710-cm.⁻¹ band corresponds to the 1st harmonic of the NO vibration, the 3480 cm.⁻¹ is due to a N₂O impurity and, the 3520 and 3605-cm.⁻¹ bands are sensitive to temp. and d., which indicates assocn. of the mols. Manfred Mannheimer

M. H.

C. A. 1969.

71.8

No

1989

138044k Experimental determination of spectral parameters for the γ -system of a NO molecule. Vargin, A. N.; Serikov, R. I.; Trekhov, E. S. (USSR). *Fiz. Gazorazryadnoi Plazmy*, 1969, No. 2, 72-6 (Russ). Spectral parameters for the γ -system of NO at 2000-3400 Å were studied. The NO spectrum was excited by a low pressure (0.5-1.0 torr) high frequency discharge in a vertical discharge tube in which was fed a N₂ and O₂ mixt. Conditions of discharge were so adjusted that the ratio of intensity of the bands of the γ -system to the bands of the β -system was max. The spectra were registered photoelec. with a diffraction spectrograph and a vacuum monochromator. From the spectra, $|R_e|^2$ (electronic transition moment) values were calcd.

Padma Vasudevan

C.A. 1980.72.26

Oreocetes azoma (empty type,) 126 1969
(non. nom.)

Wagniere G.H., XIII 1292

Chem. Nitro Nitroso Groups, New York,
1969, 1-44 (annual)

Theoretical aspects of the carbon
- nitrogen oxide and carbon-
nitrogen dioxide bonds. I



FO 

Comparative and

CP, 1970, 22, N22, 1149032
1149033

NO

1969

4 Д371. Экспериментальное определение относительной $|R_e|^2$ -зависимости для γ -системы молекулы NO.
Варгин А. Н., Сериков Р. И., Трехов Е. С.
В сб. «Физ. газоразрядн. плазмы». Вып. 2. М., Атомиз-
дат, 1969, 72—76

Исследована относит. зависимость квадрата матрич-
ного элемента дипольного момента электронного пере-
хода $|R_e|^2$ для различных электронно-колебательных по-
лос γ -системы переход $A^2\Sigma - X^2\Pi$ молекулы NO (2000—
3400 Å). Молекулы NO образовывались и возбуждались
в безэлектродном ВЧ-разряде при низком давлении
(0,5—1 мм рт. ст.). Для определения $|R_e|^2$ использова-
ны известные значения факторов Франка — Кондона
для γ -систем NO. Получена зависимость $|R_e|^2$ от межъ-
ядерного расстояния. Библ. 4.

Р. Душин

09. 1970.

48

№

4 Д406. Полоса излучения около 4 мк, нагретого до высоких температур воздуха. W. гау K. L. Тау-
лор R. L. 4 μ band radiation from high temperature air:
«J. Quant. Spectrosc. and Radiat. Transfer», 1969, 9, № 10,
1317—1329 (англ.)

4069

С целью выяснения природы наблюдаемой около 4 мк полосы излучения выполнены эксперим. исследования спектров излучения, нагретых до высоких т-р воздуха и некоторых других газов. Нагрев исследуемых газов до т-р 5400—8000° К производился либо в обычной ударной трубе, либо в дуговом разряде при атмосферном давлении. Эксперименты показали, что полоса у 4 мк не обусловлена обычными примесями и что для появления ее необходимо наличие в смеси одновременно O_2 и N_2 . Предполагается, что полоса излучения у 4 мк принадлежит молекуле NO и обусловлена переходом между ридберговским и иеридберговским состояниями, лежащими вблизи 8 эв.

К. П. В.

09. 1970. 12

NO

(Call. No. 00.)

Cler. noem.

Anderson A.B.,
Parr R.G.

1970

J. Chem. Phys., 1970,

53, ~8, 3375.

(See Bell) III

No	$\ell_e \times 10^5$	- $\ell_e \times 10^{13}$	$m_e \times 10^{21}$	$\ell_e m_e / \ell_e^2$
18,6 (15,9)	131 (124)	816 (775)	0,89/0,81	

№

XIII-812

1970

6 Б82. Спектры субмиллиметровых переходов между возбужденными электронными состояниями молекулы NO. Башаринов А. Е., Зотова Е. Н. «Оптика и спектроскопия», 1970, 29, № 5, 842—844

Из лит. данных по спектроскопич. постоянным молекулы NO с учетом взаимодействия уровней вычислена зависимость энергии ряда близкорасположенных электронно-колебательных уровней типа $^2\Pi$ и $^2\Delta$ от вращательного квантового числа J . Указано на возможность наблюдения переходов между возбужденными состояниями NO в субмиллиметровой и длиноволновой ИК-областях.

М. Р. Алиев

X. 1971. 6

NO

XIII - 812

1970

4 Д415. Спектры субмиллиметровых переходов между возбужденными электронными состояниями молекулы NO. Б а ш а р и н о в А. Е., З о т о в а Е. Н. «Оптика и спектроскопия», 1970, 29, № 5, 842—844

Рассчитаны данные, характеризующие зависимость положения термов молекулы NO от номера вращательного числа для нескольких возмущенных колебательных уровней состояний $C^2\Pi$ и $B^2\Pi$. Установлены возможные переходы в субмиллиметровой и длинноволн. ИК-области спектра.

9. 1871. 49

NO

XIII-812

1970

M.N.

mb.

encl/p

105291b Spectra of submillimeter transitions between excited electronic states of a nitric oxide molecule. Basharinov, A. E.; Zotova, E. N. (USSR). *Opt. Spektrosk.* 1970, 29(5), 842-4 (Russ). Data characterizing the positions of the terms of the NO mol. as a function of the rotational quantum no. were obtained for several perturbed vibrational levels of the $C^3\Pi$ and $B^2\Pi$ states. The possible transitions in the submm and far-ir spectral regions are given.

P. Adamek

C.A. 1971 7420

NO

Brenndk C. R.

1970

Chem. Phys. Zett.,

(1)

1970, 5, 4, 410.

(Cer. No₂) III

No

Callear A.B. u gp. 1880

Trans. Far. Soc., 66 (6),
1289.

M.B. unnyebch.
spinosus

(All. C₂) III

1970

NO.

1 Д840. Флуоресценция окиси азота. Ч. 6. Предиссоциация и тушение путем каскадных переходов у NO с участием состояний $D^2\Sigma^+$ ($v=0$) и $C^2\Pi$ ($v=0$); силы осцилляторов полос ε (0, 0) и δ (0, 0). Calleag A. B., Pilling M. J. Fluorescence of nitric oxide. Part 6. Predissociation and cascade quenching in NO $D^2\Sigma^+ (v=0)$ and NO $C^2\Pi (v=0)$, and the oscillator strengths of the ε (0,0) and δ (0,0) bands. «Trans. Faraday Soc.», 1970, 66, № 8, 1886—1906 (англ.)

Исследованы процессы дезактивации молекул NO на переходах $D^2\Sigma^+ (v=0) \rightarrow C^2\Pi (v=0)$, происходящие в результате самотушения и при добавлении Ar, N₂ и CO₂. Добавление Ar вызывает тушение с эффективностью, равной 1. N₂, CO₂ и NO не индуцируют каскадных переходов. Двумя различными методами показано, что скорость спонтанной предиссоциации в состоянии $D^2\Sigma^+ (v=$

+1 fm (ав. године)

оп. 1971. 10

19

$v=0$) значительно меньше, чем скорость спонтанного испускания. Адекватное описание процесса $D \rightarrow C$ с участием аргона осложняется тем, что б-полосы одновременно в некоторой степени подвержены специфич. тушению, которое маскирует усиление, обусловленное каскадными переходами. При высоких давлениях инертного газа установлено, что предиссоциация $C^2\Pi$ ($v=0$) имеет эффективность в 33 ± 5 раз большую, чем испускание в основное состояние. Библ. 23. Ч. V см. РЖФиз, 1969, 5Д688.

№

№

№

1 Д841. Флуоресценция окиси азота. Ч. 7. Скорости тушения состояния $C^2\Pi(v=0)$, скорости радиационных процессов в состояние $NO\ A^2\Sigma^+$. Эффективности переноса энергии и механизмы предиссоциации. Callen A. B., Pilling M. J. Fluorescence of nitric oxide. Part 7. Quenching rates of $NO\ C^2\Pi(v=0)$, its rate of radiation to $NO\ A^2\Sigma^+$, energy transfer efficiencies, and mechanisms of predissociation. «Trans. Faraday Soc.», 1970, 66, № 811, FMP 7, 1618—1634 (англ.)

Представлены следующие эксперим. результаты:
а) точные значения скоростей тушения $NO\ C^2\Pi(v=0)$ при взаимодействии с N_2 , CO_2 , Ar и NO ; б) скорости каскадного перехода $C^2\Pi(v=0) \rightarrow A^2\Sigma^+$ ($f_{эл} = 1,6 \pm 0,5$);
в) эффективности переноса энергии в процессе дезактивации $C^2\Pi(v=0) \rightarrow A^2\Sigma^+$; г) доказательство существования переноса энергии электронного возбуждения в процессе дезактивации состояния $D^2\Sigma^+(v=0) \rightarrow A^2\Sigma^+$ при

19. 1971. 10

взаимодействии с N_2 ; д) «аномальные» значения скоростей тушения δ -полос под влиянием N_2 , CO_2 и NO ;
е) частичное тушение δ -испускания $^{15}N^{16}O$ при взаимодействии с Ag . Учтена возможность участия состояния $a^4\Pi NO$ в преддиссоциации NO из состояния $C^2\Pi (v=0)$.
Сделано предположение, что уровни более низкоэнергетические, чем $F_2 (7/2)$ состояния $C^2\Pi (v=0)$, лежат ниже энергии диссоциации, которая соответствует $D_0(NO) = 52\ 400 \pm 10\ cm^{-1}$. Представлена также сводка параметров тушения. Библ. 25. Ч. 6 см. реф. 1Д840.

1970

NO

82308a Fluorescence of nitric oxide. 7. Quenching rates of NO $C^2\Pi(v = 0)$, its rate of radiation to NO $A^2\Sigma^+$, energy transfer efficiencies, and mechanisms of predissociation. Callear, Anthony B.; Pilling, M. J. (Phys. Chem. Lab., Cambridge, Engl.). *Trans. Faraday Soc.* 1970, 66(7), 1618-34 (Eng). The following exptl. results are reported: (a) accurate rates of quenching of NO $C^2\Pi(v = 0)$ by N₂, CO₂, Ar, and NO; (b) measurement of the rate of the NO $C^2\Pi(v = 0) \rightarrow$ NO $A^2\Sigma^+$ cascade radiation ($f_{el} = 1.6 \pm 0.6$); (c) efficiencies of energy transfer in the deactivation of NO $C^2\Pi(v = 0)$ to $A^2\Sigma^+$; (d) evidence for electronic energy transfer in the deactivation of NO $D^2\Sigma^+(v = 0)$ to NO $A^2\Sigma^+$ by N₂; (e) "anomalous" quenching rates of the δ -bands by N₂, CO₂, and NO, and (f) partial quenching of the ¹⁵N¹⁶O δ -emission by Ar. A route via NO $a^4\Pi$ is adopted to account for the predissocn. of NO $C^2\Pi(v = 0)$. The levels below $F_2(7/2)$ of ¹⁴N¹⁶O $C^2\Pi(v = 0)$ lie probably below the dissocn. limit, indicating $D_0(\text{NO}) = 52,400 \pm 10 \text{ cm}^{-1}$. A compilation of the quenching parameters is given.

RCTD

C.A. 1970. 73. 16

1970
NO

12 Д384. Наблюдение переходов между компонентами А-дублета методом двойного облучения. Chardodol Jean-Claude. Observation des transitions entre les composantes d'un doublet A par une méthode de double irradiation. «Ann. phys.», 1969(1970), 4, № 4, 373—382 (франц.)

Измерены частоты расщеплений А-дублетов в зеемановской структуре состояния $^2P_{3/2}$, $j=3/2$ молекулы NO в магн. поле. Измерения проводились радиоспектроскопически по методу двойного облучения, при котором НЧ-резонанс А-дублета регистрируется по поглощению сверхвысокочастотного поля, соответствующего зеемановскому переходу. Обнаружены многоквантовые переходы в А-дублетах, отмечен эффект Блоха — Зигерта. Для интерпретации результатов применена теория Аутлера — Таупса. Результаты расчета частот переходов сопоставлены с эксперим. значениями. Расхождение не превышает 4%. Библ. 23.

Е. Александров

Ф. 1970.

120

N15O¹⁶

1970

У. Н. 9 Д347. Влияние изотопического замещения на колебательную структуру γ -системы молекулы $\text{N}^{15}\text{O}^{16}$. Cisak H., Danielak J., Rytel M. Vibration isotope effect in γ system of $^{15}\text{N}^{16}\text{O}$ molecule. «Acta phys. pol.», 1970, A 37, № 1, 67—70 (англ.)

Исследована колебательная структура γ -системы в электронном эмиссионном спектре $\text{N}^{15}\text{O}^{16}$. Получены значения λ для голов полос $^0P_{12}$, P_2 , P_1 и Q_1 -ветвей. Составлена таблица Деландра с горизонтальными и вертикальными разностями. Для верхнего и нижнего состояния получены следующие значения колебательных постоянных (в см^{-1}): $\omega_e' = 2331,0$, $\omega_e' x_e' = 15,777$, $\omega_e'' = 1868,8$, $\omega_e'' x_e'' = 13,47$. Измеренные значения изотопич. соотношений колебательных постоянных хорошо согласуются с теоретическими. Библ. 7. Э. В. Б.

ф. 1970.92

NO

Cristy S.S.
Mamontov G.

1970

A.P.

Zuf. J. Mass Spectrom.
and Ion Phys.) 5(3-4),
309.



(Car. NO^+) III⁻

NO

BФ - 599 - XIII

1970

8 Б88. Ридберговые серии в малых молекулах. VII
 Ридберговые серии и фотоэлектронная спектроскопия
NO Edqvist O., Lindholm E., Selin L., Sjögren H., Asbrink L. Rydberg series in small molecules.
 VII. Rydberg series and photoelectron spectroscopy of NO. «Ark. fys.», 1970, 40, № 5, 439—456 (англ.)

Исследован фотоэлектронный спектр молекулы NO при энергиях 15—25,5 эв. Идентифицированы колебательные полосы, соотв-щие 10 электронным состояниям NO. Проанализированы также лит. данные по УФ-спектру NO и исправлено отнесение ряда ридберговых серий. Предложена новая идентификация электронных уровней иона NO⁺: $^3\Sigma^+$ 15,65, $^3\Delta$ 16,86, $^3\Sigma^-$ 17,59, $^1\Sigma^-$ 17,82, $^1\Delta$ 18,07, $^1\Sigma^+$ 23,3 эв ($1\pi^-$); $^3\Pi$ 16,56, $^1\Pi$ 18,32 эв ($5\sigma^-$) и $^3\Pi$ 20,41, $^1\Pi$ 21,72 эв ($4\sigma^-$).

М. Р. Алиев

8i

X 1971.

8



NO, NO⁺

BQ - 599 - XIII

1970

138074v Rydberg series in small molecules. VII. Rydberg series and photoelectron spectroscopy of NO. Edqvist, O.; Lindholm, Einar; Selin, L.E.; Sjogren, Hagan; Asbrink, L. (Dep. Phys., Roy. Inst. Technol., Stockholm, Swed.). *Ark. Fys.* 1970, 40(31), 439-56 (Eng). The photoelectron spectra of NO has been studied between 15 and 25.5 eV. In the uv spectrum of NO, measured by Tanaka, Huber, Miescher, and others, some new Rydberg series have been found and others reinterpreted. The following states of NO⁺ have been identified: $1\pi^{-1}$: $^3\Sigma^+$ 15.65 eV; $^3\Delta$ 16.86 eV; $^3\Sigma^-$ 17.59 eV; $^1\Sigma^-$ 17.82 eV; $^1\Delta$ 18.07 eV; and $^1\Sigma^+$ at 23.3 eV (vert.); $5\sigma^{-1}$: $^3\Pi$ 16.56 eV; $^1\Pi$ 18.32 eV; $4\sigma^{-1}$: $^3\Pi$ 20.41 eV; $^1\Pi$ 21.72 eV. An approx. potential energy diagram of NO⁺ has been drawn. The analogy between NO⁺ and N₂ is more pronounced than expected.

RCTT

C.A. 1970. 72 · 26

NO

[Om. 16311]

1970

pacem
franson.
mercuri,
M.N.,
korfam.
rocmest.
u tneper.

Engleman R., G., Rose P.E.
Peek H.M., et al.,
Beta and Gamma Band Systems
OF Nitric Oxide.
Los Alamos Scientific Laboratory
of the University
of California, 1970.

NO

129253

1970

Guedard Y.

Lehmann Y.-C.

C. r. Acad. sci., 270 (26),
B 1664.

секунд

Очесуречий перекон
и зоропесий Калеси
зірка  дослідженням NO

09. 1970. 198

No 1970

unpublished
microfilm
8 UK

(26350s) Infrared radiation properties of nitric oxide at elevated temperatures. Green, Robert Marshall (Univ. of California, Berkeley, Calif.): 1969, 102 pp. (Eng). Avail. Univ. Microfilms, Ann Arbor, Mich., Order No. 70-6111. From Diss. Abstr. Int. B 1970, 30(10), 4627-8.

SNDC

C.A. 1971. 24.6

XI - 1063

1970

Pacem n.n (C₂, N₂; N₂⁺; O₂, O₂⁺; CO,
CO⁺; NO, NO⁺)

Yulin D.C.

Int. Z. Quant., Clear, 1970, 4, No,
529-586.

Pitt. Num. 1971

1115 EG.

10

④

1980

NO

спектр

✓ 4 Д171. Ридберговские серии в спектре молекулы NO: интерпретация квантовых дефектов и интенсивности *s*- и *d*-серий. Jungen Christian. Rydberg series in the NO spectrum: an interpretation of quantum defects and intensities in the *s* and *d* series. «J. Chem. Phys.», 1970, 53, № 11, 4168—4182 (англ.)

Дается интерпретации квантовых дефектов для *s*- и *d*-ридберговских серий молекулы NO. Ридберговский электрон рассматривается в поле дальнодействующего потенциала остова NO^+ . Для учета эффектов проникновения, обусловленных обменом с электронами остова, смешиванием $d\sigma$ - и $s\sigma$ -ридберговских серий, а также неортогональностью ф-ций электронов остова и ф-ций ридбергов-

о. 1971. 40

ского электрона, вводятся дополнительные параметры. Эти параметры определяются независимо с помощью эксперим. значений электронных вращательных уровней энергии. Показано, что смешивание $d\sigma$ и $s\sigma$ -ридберговских серий оказывает сильное влияние на интенсивности переходов в близкой инфракрасной, видимой и УФ-областиах спектра. Численные расчеты, проведенные для орбиталей остова молекулы NO, подтверждают обоснованность предложенного метода учета эффектов проникновения.

Р. А. Эварестов

№

1980

7Б184.) Ридберговые серии в спектре NO; интерпретация квантовых дефектов и интенсивностей в *s*- и *d*-сериях. Jung en Christian. Rydberg series in the NO spectrum: an interpretation of quantum defects and intensities in the *s* and *d* series. «J. Chem. Phys.», 1970, 53, № 11, 4168—4182 (англ.)

Обобщены эксперим. данные по ридберговым $ns\sigma$ -, $np(\sigma, \pi)$ -, $nd(\sigma, \pi, s)$ - и $nf(\sigma, \pi, s, \Phi)$ -сериям молекулы NO. Показано, что предложенная ранее для *nf*-серий модель, учитывавшая лишь дальнодействующие силы между ионом NO^+ и ридберговым электроном, неприменима к *ns*- и *nd*-сериям NO, а расхождение между эксперим. и вычисленными по этой модели значениями энергии уровней обусловлено обменными эффектами, неортогональностью ридберговой орбитали к орбиталям.

спектр

X. 1981.

7

остова и смешением $d\sigma$ - и $s\sigma$ -серий. Для учета этих эффектов «проникновения» в модель дальнодействующих сил введены дополнительные параметры, подлежащие к определению из энергии электронных и электронно-вращательных уровней. В применении к ns и nd -сериам эта модель приводит к хорошему согласию с опытом. Аномалии в распределении интенсивности в спектре NO интерпретированы исключительно эффектом смешения s - и d -серий.

М. Р. Алиев

1970

No

7908n Rydberg series in the NO spectrum: an interpretation or quantum defects and intensities in the s and d series. Jungen, Christian (Div. Phys., Natl. Res. Coun. Canada, Ottawa, Ont.). *J. Chem. Phys.* 1970, 53(11), 4168-82 (Eng). The obsd. quantum defects in the *s* and *d* Rydberg series of NO are interpreted. It has been shown previously that the *nf* Rydberg states of NO conform to a long-range force model. This model assumes that the motion of the Rydberg electron is detd. only by the long-range potential of the NO^+ core. The same model, when applied to the *nd* states, fails to reproduce the observations. The differences between predicted and obsd. energies result from: (i) exchange effects and increased nuclear attraction inside the core, (ii) the required orthogonality of the wavefunction of the Rydberg electron with respect to core electrons, (iii) mixing of the $d\sigma$ with the $s\sigma$ Rydberg series. In order to describe these effects (called penetration effects) quant., the long-

Cephei
Plus Sepia

C.A. 1971

74.2

range force model is supplemented by addnl. parameters. These parameters are detd. independently from the obsd. electronic and from the obsd. rotational energy level patterns, and good agreement is found. The mixing of the $d\sigma$ with the $s\sigma$ Rydberg series strongly influences the intensities of numerous transitions in the near ir, in the visible, and in the uv spectral regions. Numerical calcns. for the core orbitals of NO support this interpretation of the penetration effects. The possible assignments of "atomlike" quantum nos. to a mol. Rydberg orbital are discussed.

RCJQ

NO

2 Б208. Теоретические расчеты электронного комбинационного рассеяния молекул NO и O₂. Lepard D. W. Theoretical calculations of electronic Raman effects of the

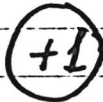
1894

NO and O₂ molecules. «Can. J. Phys.», 1970, 48, № 14, 1664—1674 (англ.)

Предложен метод расчета чисто вращательного и электронного (включая квадрупольные и магнитно-дипольные переходы) спектра КР двухатомных молекул, получены выражения для волновых функций и матричных элементов переходов для различных случаев Гунда; теория Плачека—Теллера интенсивностей линий КР в спектрах молекул высокой симметрии применена для рассмотрения электронного КР двухатомных молекул. Рассчитаны чисто вращательные и электронные спектры КР NO и O₂, произведена оценка относит. интенсивностей линий.

А. Бобров

*расчеты
91. спектра
КР*



O₂



X·1971. 2

X-6953

1970

NO, N₂, P₂O₅, SO, H₂, OH, HF, Li, Na₂ spp.
(mas. vocr., paeret)

Mirajkar S. H.,

Indian J. Phys., - 1970, 44, N10, 521-531

HO

err Q.K

NO

Natalis P. 1870
Collin F. S.

F. chiu. phys. et

phys. - chiu. biol.,

67(3), 69-73.

(see. CO) III

¹⁴N¹⁶O

1870

2 Д461. Высокопрецизионный спектр ¹⁴N¹⁶O в микроволновой области. Neumann Richard M. High-precision radiofrequency spectrum of ¹⁴N¹⁶O. «Astrophys. J.», 1970, 161, № 2, Part 1, 779—784 (англ.)

Методом электрического резонанса в молекулярном пучке исследован радиочастотный спектр молекулы ¹⁴N¹⁶O в основном электронном (²P) и колебательном состояниях. Идентифицированы частоты переходов между подуровнями А-удвоения в различных вращательных состояниях. Методом наименьших квадратов определены значения постоянных А-удвоения ($A_1 = 88,9033 \pm 0,0001$ и $A_2 = 1,4138 \pm 0,0005$), постоянных квадрупольной связи ($eQq_1 = -1,876 \pm 0,008$ и $eQq_2 = 23,04 \pm 0,05$ МГц) и постоянных магнитного СТС.

М. Р. Алиев

спектр

09. 1971. 28

NO

1970

(82338k) High-precision radio-frequency spectrum of $^{14}\text{N}^{16}\text{O}$.
Neumann, Richard M. (Dep. of Chem., Harvard Univ., Cambridge, Mass.). *Astrophys. J.* 1970, 161(2)(Pt. 1), 779-84
(Eng). Λ -doubling transitions were obsd. in both Ω -components of $^{14}\text{N}^{16}\text{O}$ in its $^2\Pi$ ground state. Hyperfine consts. and predicted frequencies are presented.

RCOT

M. H.

C.I. 1970

73.16

NO

1970

Newton A.S.
Sciamarra A.

A.P.

"Recent Develop. Mass
Spectroscopy Proc. Int. Conf.
Mass Spectroscopy Kyoto, 1969"
Tokyo, 1970, 828-829 Discuss
829 (aces)

x.1975 N6

(eu N₂; III)

№

XIII - 1211

1970

5 Б333. Анизотропия электрической поляризуемости окиси азота, пропина и карбонилсульфида, определенная методом микроволновой спектроскопии. Schagrep Le Roy H., Muenter John S., Laurie Victor W. Electric polarizability anisotropies of nitrous oxide, propane, and carbonyl sulfide by microwave spectroscopy. «J. Chem. Phys.», 1970, 53, № 6, 2513—2519 (англ.)

И. В. Браун
переводчик

литер. под.

С высокой точностью измерены штарковские компоненты МВ-вращательных переходов молекул NO (I) ($J = 1 \rightarrow 2$ и $J = 2 \rightarrow 3$), $\text{CD}_3\text{C} \equiv \text{CH}$ (II) ($J = 3 \rightarrow 4$) и OCS (III) (повторно, $J = 4 \rightarrow 5$). Измерения производились с помощью МВ-спектрометра со специальной ячейкой поглощения с параллельными пластинками, позволяющей налагать в области поглощения высокооднородное электрическое поле. Анализ компонент вращательных переходов осущест-

Х. 1971

5



+2

(X)

ствлялся с использованием гамильтониана $\dot{x} = \dot{x}_R - \mu E \cos\theta - \frac{1}{2}(\alpha E^2 \cos^2\theta)$, где \dot{x}_R — вращательный гамильтониан молекулы типа симметрич. волчка (или линейной молекулы) с учетом эффектов центробежного растяжения 2-го порядка, μ — электрич. дипольный момент, E — величина приложенного электрич. поля, θ — угол между направлением электрич. поля и вектором дипольного момента, α — анизотропия электрич. поляризуемости ($\alpha_{zz} - \alpha_{xx}$), где z — ось симметрии молекулы, x — ось, перпендикулярная к оси z . Из анализа МВ-спектров определены молек. параметры I—III. Отмечены преимущества определения анизотропии электрич. поляризуемости из компонент штарковского расщепления МВ-вращательных линий по сравнению с другими наиболее прецизионными методами.

А. П. Александров

№

17 Б272. Вращательный спектр комбинационного рассеяния окиси азота. Shotton K. C., Jones W. Jегету. Rotational Raman spectrum of nitric oxide. «Can. J. Phys.», 1970, 48, № 5, 632—634 (англ.)

1970

Исследован возбужденный линией 4880 Å аргонового лазера вращательный спектр КР молекулы NO в газовой фазе при давл. 600 м.м. Спектр состоит из интенсивной *S*-ветви и слабой *R*-ветви, причем все линии расщеплены на 2 компоненты, соотв-щаие подуровням $^2\Pi_{1/2}$ и $^2\Pi_{3/2}$ основного электронного уровня ^2PNO . Линии продувания $^2\Pi_{1/2}$ интенсивнее линий подуровня $^2\Pi_{3/2}$, а интервал между компонентами растет с ростом вращательного квантового числа *J*. Относит. интенсивности линий согласуются с теоретически предсказанными по факторам Хэнля—Лондона для случая Гунда «*a*». Из частот линий *S*-ветви вычислены значения вращательной постоянной $B_0 = 1,6961 \text{ см}^{-1}$ и постоянной центробежного искажения $\vartheta_0 = 5,46 \cdot 10^{-6} \text{ см}^{-1}$. М. Р. Алиев

м.и.

X, 1980

NO

(A)

NO - (u.n)

rayesnal

gpano2ueknip.

cnextpockon.

C.GH 1972.

XII-222

1970

69221 Electron affinity of nitric oxide and the molecular constants of its negative ion, determined by laser photoelectron spectroscopy. Siegel, Melvin W. (Univ. Colorado, Boulder, Colo.). 1970, 170 pp. (Eng). Avail. Univ. Microfilms, Ann Arbor, Mich., Order No. 70-23,754. From *Diss. Abstr. Int. B* 1970, 31(6), 3625.

46.2

N-O

Stals Y.

1870

Rev's Pure and Appl.

Cheee., 20, March,

1-22

(cont.C-C) III

1940

NO

Walker T.E.H.,
Richards W.G.

M.N.

cluster-project
Haeris

J. Chem. Phys.,

1940, 52, n 3, 1311(Ac. Bo) III